

بایواستراتوگرافی سازند گورپی در برش سپیدان (شمال بافتی شیراز) بر اساس نانوفسیل‌های آهکی

الهام مهربانی^{۱*} و سعیده سنماری^۲

۱) گروه زمین‌شناسی، دانشکده علوم پایه، دانشگاه آزاد اسلامی، واحد علوم و تحقیقات تهران، ایران.

۲) دانشگاه بین‌المللی امام خمینی (ره) قزوین، ایران

* عهده دار مکاتبات

پذیرش ۸۹/۷/۲۰

دریافت اصلاح شده ۸۹/۷/۱۵

دریافت مقاله ۸۹/۵/۲۱

مکتبه

در این تحقیق، نانوفسیل‌های آهکی برش سپیدان در سازند گورپی مورد مطالعه قرار گرفت. بر آن اساس تعداد ۱۲ خانواده و ۱۸ جنس و ۴۵ گونه شناسایی شدند. با توجه به گسترش چینه‌شناسی نانوپلانکتون‌های آهکی، سازند مورد مطالعه با زون بندي استاندارد جهانی از زون CC14 تا CC26 مطابقت داشت و سن سازند گورپی از سانتونین پسین تا ماسترشتین تعیین شد.

واژه‌های کلیدی: نانوفسیل‌های آهکی، گورپی، کرتاسه بالایی، کرتاسه - ترشیاری

است. در لرستان لایه‌های زیرین به سن کامپانین و لایه‌های بالایی تا پالتوسن ادامه دارند (مطیعی ۱۳۷۲).

منطقه‌ی مورد مطالعه در ناحیه‌ی زاگرس چین‌خورد، در استان فارس و در ۱۰۶ کیلومتری شمال غرب شیراز واقع شده است. دسترسی به محل مقطع از طریق جاده‌ی شیراز به نورآباد ممکنی امکان‌پذیر می‌باشد. طول جغرافیایی منطقه‌ی مورد مطالعه بین طول‌های ۹۴°۲' و ۴۰°۵۱' و ۰۱۶°۴۱' شرقی و عرض جغرافیایی منطقه مورد مطالعه بین عرض‌های ۳۰°۰۰' و ۳۰°۰۰' و ۱۵۲°۰۰' شمالی قرار گرفته است (تصویر ۱).

در برش مورد مطالعه سازند گورپی با ۱۶۸ متر ضخامت بر روی سازند سروک و در زیر شیل‌های ارغوانی سازند پابده قرار دارد. برش مورد مطالعه بیشتر از شیل و مارن‌های خاکستری تا آبستی تشکیل شده است و از نظر لیتوژئی بسیار نرم و مناسب جنت نمونه برداری نانوفسیل‌های

۱- مقدمه

کمربند چین خوردی زاگرس به طول حدود ۲۰۰۰ کیلومتر از شمال شرقی ترکیه شروع شده و با گذر از سوریه و عراق به غرب و جنوب ایران می‌رسد و در بردارنده تعداد بسیار زیادی از میادین نفتی در جهان است (Alavi 2004). به جز ناحیه‌ی شیراز که در آن رسویگذاری از زوراسیک تا کرتاسه پیوسته بوده، در دیگر نواحی زاگرس، پس از ایست روسی زوراسیک پایانی، گستره‌های وسیعی از زاگرس با دریای پیشوندی کرتاسه پوشیده شده است.

برش الگوی این سازند در تنگ پابده در شمال مسجد سلیمان (میدان نفتی لالی)، جنوب غرب دامنه‌ی کوه پابده) واقع شده است. در بیشتر نواحی زاگرس، سازند گورپی شامل مارن، شیل‌های خاکستری مایل به آبی است که میان لایه‌هایی از سنگ‌آهک‌های نازک رسی دارد و به دلیل زود فرسا بودن، سیمای آن فرسوده است (آقاباتی ۱۳۸۵).

سازند گورپی در همه جا هم زمان نیست. در نواحی فارس و خوزستان مرز زیرین گورپی، سانتونین و مرز بالایی آن ماستریشتین

از ابزار مهم در بايواستراتوگرافی محسوب می شوند. با توجه به مطالعات انجام شده بر مبنای نانوپلانکتون های آهکی، در منطقه مورد مطالعه گونه هایی مانند:

Microrhabdulus decussatae, *Watznaueria biporta*, *Watznaueria barnesae*, *decoratus*, *Micula eximius*, *Ceratolithoides aculeus*, *Micula murus*, *Arkhangelskiella cymbiformis*, *Quadrum gothicum*, *Micula preamurus*, *Lithraphidites carniolensis*, *Lucianorhabdus maleformis*, *Lucianorhabdus cayeuxii*,

تقریباً در تمامی نمونه ها و به تعداد نسبتاً زیاد یافت می شوند. همچنین گونه هایی مانند:

Quadrum trifidum, *Eiffellithus turrisieiffelii*, *Eiffellithus eximus*, *Ceratolithoides aculeus*, *Micula murus*, *Arkhangelskiella cymbiformis*, *Quadrum gothicum*, *Micula preamurus*, *Lithraphidites carniolensis*, *Lucianorhabdus maleformis*, *Lucianorhabdus cayeuxii*,

به میزان نسبتاً فراوان در برخی از نمونه ها مشاهده می شوند. از طرفی گونه هایی مانند:

Marthasterites furcatus, *Lithraphidites quadratus* نیز به طور متفرق در برخی از نمونه ها دیده می شوند.

Micula prinsii یعنی گونه های مطالعه شده گونه های *Thoracosphaera operculata* و *Markalius inversus*, *Cruciplacolithus primus* و *Biantholithus sparsus* که از گونه های شاخص و روزن ساز (CC26-NP1) در مرز K/T می باشدند، در پایین ترین بخش سازند پابده یافت گردیدند حضور این گونه ها نشان دهنده پیوسته بودن مرز کرتاسه - تریاکی و کاهش عمق حوضه در هنگام رسوب گذاری می باشد (تصویر ۴).

۳- زیست میشهناسی

حاصل مطالعات فراوان انجام شده بر روی نانوفسیل های آهکی در سراسر دنیا، ارائه زون بندی های دقیق و استانداردی است که جهت مطالعات جدیدتر مورد استفاده قرار می گیرند. برخی از مهمترین این زون بندی ها عبارت اند از:

(Sissingh 1977, Roth 1978, Perch-Nielsen 1985, Martini 1971)

تا کنون مطالعات فراوانی بر روی سازند گوربی صورت گرفته است ولی در این بررسی سازند گوربی و قاعده هی سازند پابده در مقطع



تصویر ۱- راه دسترسی و موقعیت جغرافیایی منطقه مورد مطالعه

آهکی می باشد (تصویر ۲). تصویر مربوط به سازند گوربی و سازندهای موجود در منطقه در تصویر ۳ نشان داده شده است.

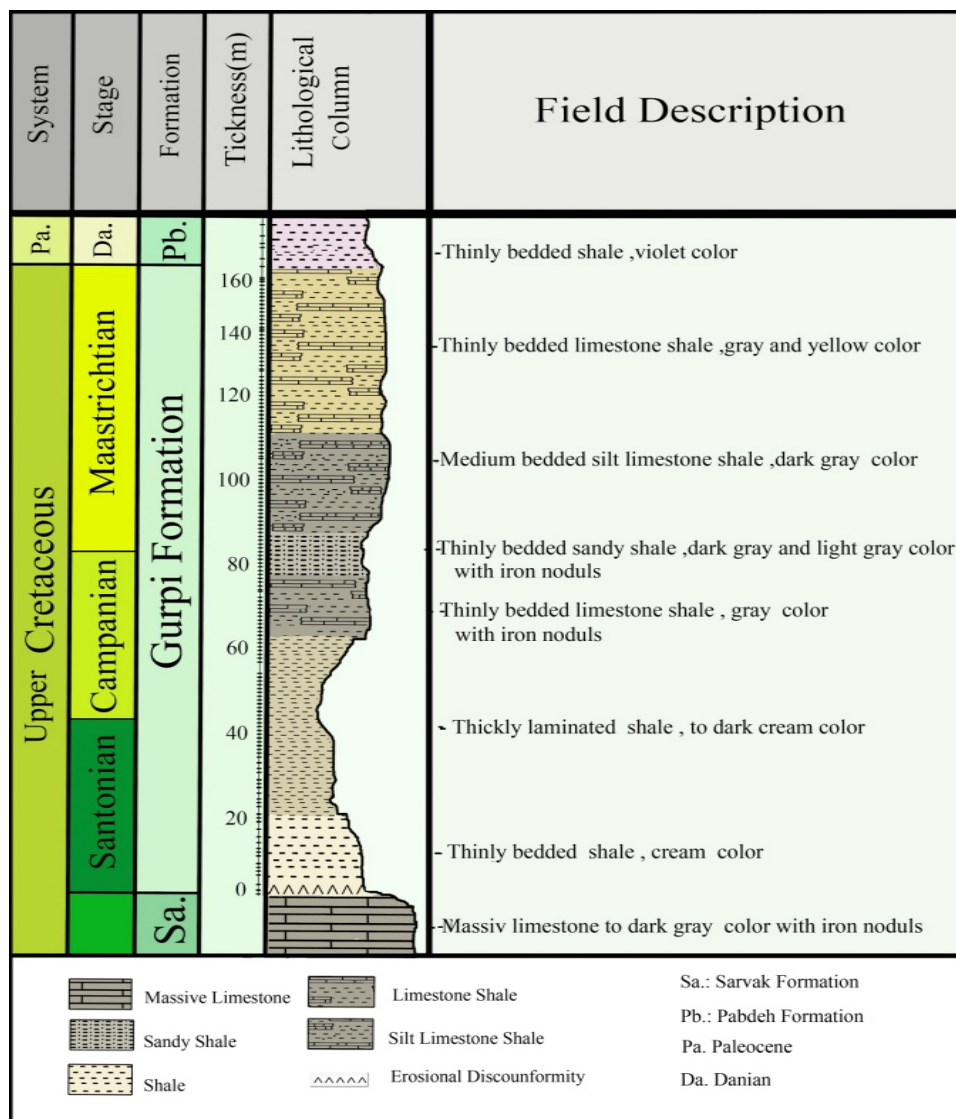
۴- نانوفسیل های آهکی

نانوفسیل های آهکی فسیل های پلانکتونیک دریایی به رنگ قهوه ای تا طلایی، به نام "جلبک های تنها" خوانده می شوند. محدوده زندگی آنها در محیط های اقیانوسی باز- محیط پلازیک تا پراکنده گی زمانی نانوفسیل های آهکی را از زمان تریاس پسین (نورین- رتین) تا حال حاضر، با بیش از صدها جنس و گونه می شناسند (James & Wynd 1965, Hadavi 2007). بیشترین حد فراوانی آنها در زون نوری (نزدیک سطح آب دریا) می باشد. بر مبنای مطالعات انجام شده بر روی ۲۷۸ نمونه نانوفسیل های آهکی در برش شمال غرب شیراز تعداد ۱۲ خانواده و ۱۸ جنس و ۴۵ گونه شناسایی و عکسبرداری شدند.

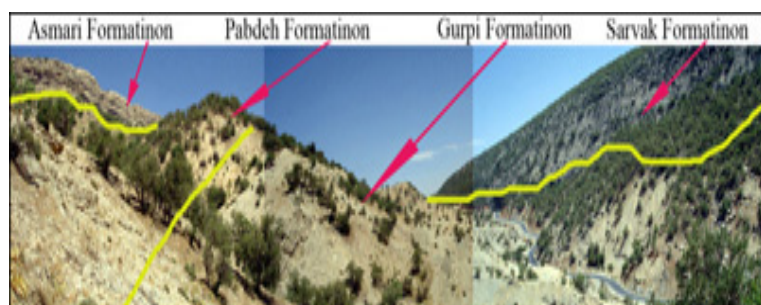
نانوپلانکتون های آهکی شناسایی شده در برش گورپی واقع در شمال باختری شیراز منطقه سپیدان با حفظ شدگی خوب، تعداد و تنوع بسیار زیاد می باشند. این گروه فسیلی دارای گسترش جغرافیایی وسیع و بازه زمانی کوتاه بوده و لذا

مورد مطالعه بر اساس نانوفسیل های یافت شده و بر اساس توجه به فسیل های شاخص و زون ساز، آشکوب های کرتاسه بالایی را زون بندی های سیسینگ (Sissingh 1977) و مارتینی (Martini 1971) از یکدیگر تفکیک نمود (تصویر ۵).

1971 زون بندی گردیدند. بر این اساس می توان در سازند گورپی با



تصویر ۲ - ستون چینه شناسی سازند گورپی در برش مطالعه



تصویر ۳- موقعیت سازند گورپی با سازندهای زیرین و بالایی

Pa	Sa	Gurpi Formation		Formation		System	Stage	Sample	Thickness(n)	ZONES CC SMISSING(1977)												
		Santonian	Cretaceous	Campanian	Maastrichtian					Cc14	Cc15	Cc16	Cc17	Cc18	Cc19	Cc20	Cc21	Cc22	Cc23	Cc24	Cc25	Cc26
										278												
										265	•	•	•	•	•	•	•	•	•	•	•	•
										246	•	•	•	•	•	•	•	•	•	•	•	•
										228	•	•	•	•	•	•	•	•	•	•	•	•
										192	•	•	•	•	•	•	•	•	•	•	•	•
										184	•	•	•	•	•	•	•	•	•	•	•	•
										170	•	•	•	•	•	•	•	•	•	•	•	•
										246	•	•	•	•	•	•	•	•	•	•	•	•
										159	•	•	•	•	•	•	•	•	•	•	•	•
										208	•	•	•	•	•	•	•	•	•	•	•	•
										140	•	•	•	•	•	•	•	•	•	•	•	•
										133	•	•	•	•	•	•	•	•	•	•	•	•
										190	•	•	•	•	•	•	•	•	•	•	•	•
										120	•	•	•	•	•	•	•	•	•	•	•	•
										110	•	•	•	•	•	•	•	•	•	•	•	•
										98.1	•	•	•	•	•	•	•	•	•	•	•	•
										94.5	•	•	•	•	•	•	•	•	•	•	•	•
										94.0	•	•	•	•	•	•	•	•	•	•	•	•
										89.5	•	•	•	•	•	•	•	•	•	•	•	•
										86.4	•	•	•	•	•	•	•	•	•	•	•	•
										86.2	•	•	•	•	•	•	•	•	•	•	•	•
										85	•	•	•	•	•	•	•	•	•	•	•	•
										84.1	•	•	•	•	•	•	•	•	•	•	•	•
										66	•	•	•	•	•	•	•	•	•	•	•	•
										37.6	•	•	•	•	•	•	•	•	•	•	•	•
										32.6	•	•	•	•	•	•	•	•	•	•	•	•
										46	•	•	•	•	•	•	•	•	•	•	•	•
										3	•	•	•	•	•	•	•	•	•	•	•	•
										0	•	•	•	•	•	•	•	•	•	•	•	•
										1	•	•	•	•	•	•	•	•	•	•	•	•

تصویر ۴ - پراکنده‌گی نانوفسیل‌های آهکی سازند گورپی در برش سپیدان شمال باختری شیراز

ولی در این بررسی سازند گورپی و قاعده‌ی سازند پابده در مقطع مورد مطالعه بر اساس نانوفسیل‌های یافت شده و بر اساس زون‌بندی‌های سیسینگ (Sissingh 1977) و مارتینی (Martini 1971) زون‌بندی گردیدند. بر این اساس می‌توان در سازند گورپی با توجه به فسیل‌های شاخص و زون‌ساز، آشکوب‌های کرتاسه بالای را از یکدیگر تفکیک نمود (تصویر ۵).

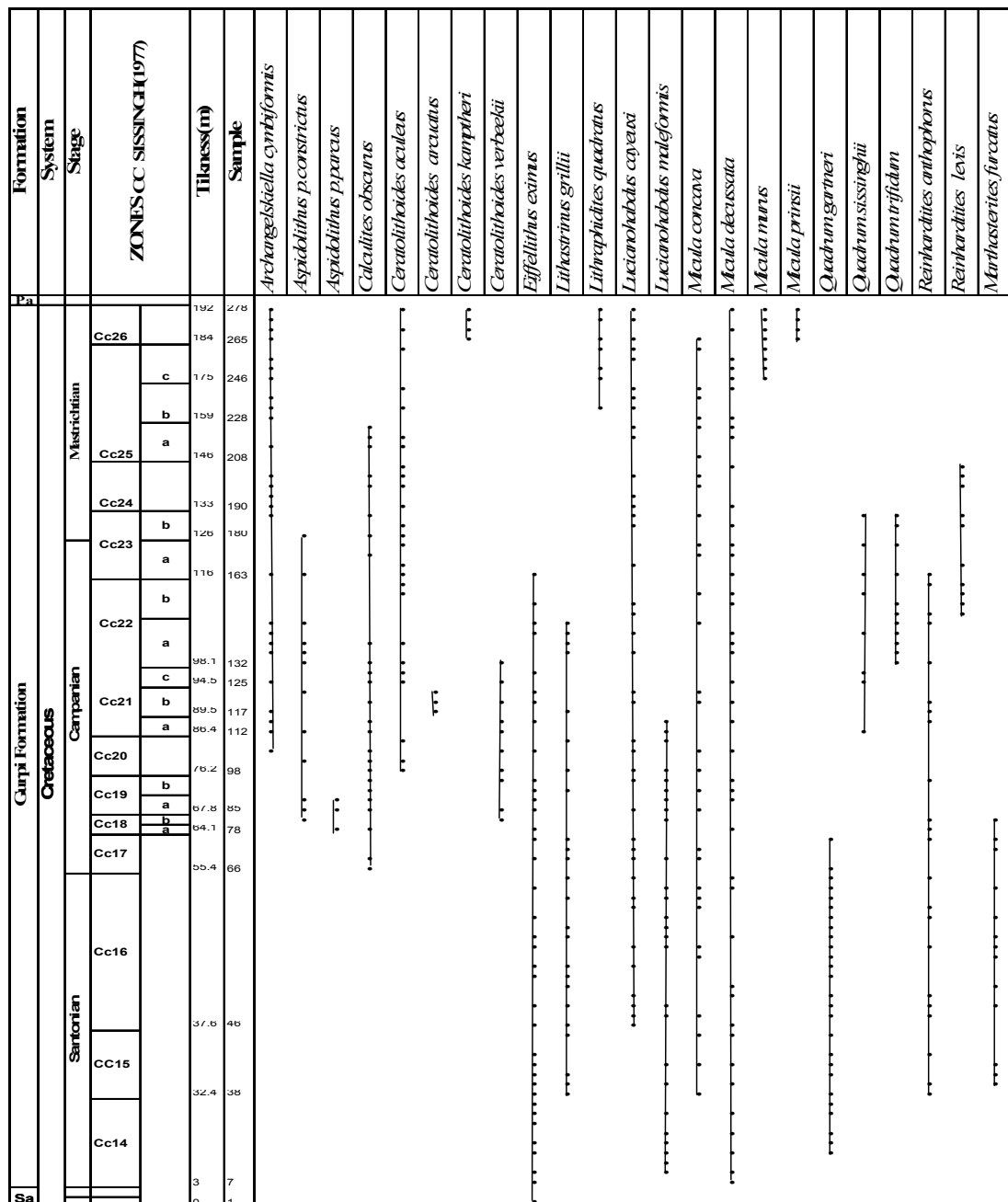
سامی زیست‌زون‌های تعریف شده در تعیین آشکوب‌های کرتاسه بالای به شرح زیر می‌باشند.

۳- زیست‌مینه‌شناسی

حاصل مطالعات فراوان انجام شده بر روی نانوفسیل‌های آهکی در سراسر دنیا، ارائه‌ی زون‌بندی‌های دقیق و استانداردی است که جهت مطالعات جدیدتر مورد استفاده قرار می‌گیرند. برخی از مهمترین این زون‌بندی‌ها عبارت‌اند از:

(Sissingh 1977, Roth 1978, Perch-Nielsen 1985, Martini 1971)

تا کنون مطالعات فراوانی بر روی سازند گورپی صورت گرفته است



تصویر ۵- بایوزوناسیون سازند گوربی برش سپیدان بر مبنای نانوفسیل های آهکی

۱-۳- زون -۱۴- *Micula Decussata Zone (CC14)*

Lucianorhabdus Cayeuxii Zone (CC16) -۳-۱۳- زون
 تعریف: این زون از اولین ظهور گونه *cayeuxii* *Calculites obscures* تا اولین ظهور گونه *Lucianorhabdus* ادامه دارد. سن: سانتونین پسین

تعریف: این زون از اولین حضور گونه *Micula decussata* تا اولین حضور گونه *Reinhardtites anthophorus* ادامه دارد.

سن: کنیاسین پسین- سانتونین آغازی

۱-۳- زون -۱۵- *Calculites Obscurus Zone (CC17)*

تعریف: این زون از ظهور گونه *Calculites obscures* تا اولین حضور گونه *Aspidolithus parcus* ادامه دارد. سن: سانتونین پسین- کامپانین آغازی

۱-۳- زون -۱۶- *Reinhardtites Anthophorus Zone (CC15)*

تعریف: این زون از اولین حضور گونه *Reinhardtites* تا اولین حضور گونه *anthophorus* ادامه دارد... سن: اوخر سانتونین آغازی *cayeuxii*

۳-۱-۲- زون Nephrolithus Frequens Zone (CC 26)

تعريف: این زون از اولین ظهور تا آخرین حضور گونه *Nephrolithus frequens* تعریف می شود. سن: اوخر ماستریشتنین پسین.

۴- تیمه گیری

بر مبنای مطالعات انجام گرفته بر روی نانوفسیل های آهکی سازند گورپی، در برش شمال باختری شیراز منطقه سپیدان تعداد ۱۲ خانواده و ۱۸ جنس و ۴۵ گونه شناسایی و عکسبرداری شد. نانوپلانکتون های آهکی شناسایی شده دارای حفظ شدگی خوب، تعداد و تنوع بسیار زیاد می باشند. بر اساس مطالعات انجام شده بر روی نانوفسیل های آهکی و با توجه به فراوانی و تنوع بالای آنها، ۱۸ بایوزون شناسایی گردید. این بایوزون ها با زون بندی سیستمی تطابق داشت. بر اساس ارزش چینه شناسی بایوزون های تعریف شده، برای زمان رسو بگذاری سازند گورپی در شمال باختری شیراز، سن آنها سانتونین آغازین تا ماستریشتنین پیشین، تعیین می گردد. بین گونه های مطالعه شده گونه *Micula prinsii* که از شاخص های بخش پایانی ماستریشتنین و نیز مرز K/T است، در بالاترین بخش سازند گورپی یافت شد. همچنین گونه های دیگری *Cruciplacolithus Thoracosphaera operculata* مانند *Biantholithus sparsus* و *Markalius inversus primus* گونه های شاخص و زون ساز (CC26-NP1) در مرز K/T در پایین ترین بخش سازند پابده یافت گردیدند، که نشان دهنده پیوستگی رسوبات کرتاسه به پالئوسن و کاهش عمق حوضه در منطقه می باشد.

مراجع

آفتابی، ع.، ۱۳۸۵، "زمین شناسی ایران"، انتشارات سازمان زمین شناسی و اکتشافات معدنی کشور، ۳۲۱ ص.

مطیعی، ۱۳۷۲، "زمین شناسی ایران: چینه شناسی زاگرس"، انتشارات سازمان زمین شناسی کشور، ۵۳۶ ص.

Alavi, M., 2004, "Regional stratigraphy of the Zagros fold-thrust belt of Iran and its proforeland evolution", *American Journal of Science*, Vol. 304 (1): 1-20.

Hadavi, F., 2007, "Calcareous nannofossils biostratigraphy of the Gurpi Formation in the type section

۴-۵-۳- زون Aspidolithus Parcus Zone (CC18)

تعريف: این زون از ظهور گونه *Aspidolithus parcus* تا انقراض گونه *Martasterites furcatus* ادامه دارد. سن: کامپانین آغازی

۴-۶-۳- زون Calculites Ovalis Zone (CC19)

تعريف: این زون از آخرین حضور گونه *Martasterites furcatus* تا اولین حضور گونه *Ceratolithoides aculeus* ادامه دارد. سن: اوخر کامپانین آغازی

۴-۷-۳- زون Ceratolithoides Aculeus Zone (CC20)

تعريف: این زون از اولین حضور گونه *Ceratolithoides aculeus* تا اولین حضور گونه *Quadrum sissinghii* ادامه دارد. سن: اوخر کامپانین آغازی

۴-۸-۳- زون Quadrum Sissinghii Zone (CC21)

تعريف: این زون از اولین حضور گونه *Quadrum sissinghii* تا اولین حضور گونه *Quadrum trifidum* ادامه دارد. سن: اوایل کامپانین پسین

۴-۹-۳- زون Quadrum Trifidum Zone (CC 22)

تعريف: این زون از اولین حضور گونه *Quadrum trifidum* تا آخرین حضور گونه *Reinhardtites anthophorus* ادامه دارد. سن: اوخر کامپانین پسین

۴-۱۰-۳- زون Tranolithus Phacelosus Zone (CC 23)

تعريف: این زون از آخرین حضور گونه *Tranolithus anthophorus* تا آخرین حضور گونه *Phacelosus* ادامه دارد. سن: کامپانین پسین - ماستریشتنین آغازی

۴-۱۱-۳- زون Reinhardtites Levis Zone (CC24)

تعريف: این زون از آخرین حضور گونه *Tranolithus* تا آخرین حضور گونه *Reinhardtites levis* ادامه دارد. سن: ماستریشتنین آغازی.

۴-۱۲-۳- زون Arkhangelsiella Cymbiformis Zone (CC25)

تعريف: این زون از آخرین حضور گونه *Reinhardtites levis* تا ظهور گونه *Nephrolithus frequens* ادامه دارد. سن: ماستریشتنین پسین.

(Zagros basin, NW Iran)", 6th Int. Sym. Eastern Mediterranean Geol., Amman, Jor - Jordan,

32Ipp.

James, G.A. & Wynd, J.G., 1965, "Stratigraphic nomenclature of the Iranian oil consortium agreement area". N.I.O.C. Geological Report No.1072.

Prech- Nielsen, K., 1979, "Calcareous Nannofossils from the Cretaceous between the North Sea and Mediterranean, Aspekte der kreide Europas", IUGS series A, NO. 6: 223-272.

Roth, P. H. & Krumbach, K. R., 1968, "Middle cretaceous calcareous Nannofossil biostratigraphy and preservation in the Atlantic and Indian oceans, Implications for palaeoceanography", Marine Micropaleontology, Vol. 10: 235-266.

Sissingh, W., 1977, "Biostratigraphy of Cretaceous calcareous nannoplankton", Geologic en Minjbouw, Vol. 56: 37-65.

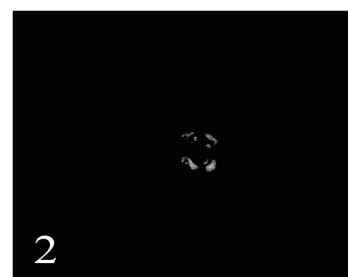
PLATE 1-4:
All figures light mic
rographs at x 1250

PLATE 1

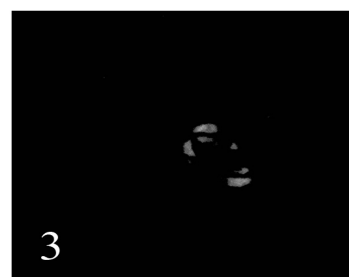
- 1: *Arkhangelskiella cymbiformis* Perch – Nielsen 1989
- 2: *Arkhangelskiella maastrichtiana* Burnett 1998b
- 3: *Arkhangelskiella specillata* Vekshinella 1959
- 4: *Aspidolithus parcus constrictus* (Hanter et al. 1980), (Perch- Nielsen 1984a)
- 5: *Aspidolithus parcus parcus* (Stradner 1963), (Noel 1969)
- 6: *Aspidolithus parcus expanses* (Wise & Watkins in Wise 1983) Perch- Nielsen (1984a)
- 7: *Calculithes obscurus* (Deflandre 1959), (Prins & Sissingh in Sissingh 1977)
- 8: *Calculithes ovalis* (Stradner 1963), Prins & Sissingh in Sissingh 1977
- 9-10: *Lucianorhabdus cayeuxii* (Deflander 1959)
- 11: *Lucianorhabdus maleformis* Reinhardt (1966)
- 12: *Braarudosphaera bigelowii* (Gran & Braarud 1935), (Deflandre 1974)



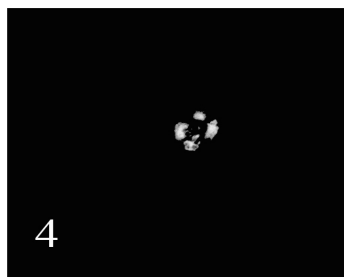
1



2



3



4



5



6



7



8



9



10



11



12

PLATE 2

- 1: *Eiffellithus eximius* (Stover 1966) (Perch- Nielsen 1968)
- 2: *Eiffellithus gorkae* (Reinhardt 1965)
- 3: *Eiffellithus turriseiffelii* (Deflandre in Deflander 1954)
- 4: *Lithraphidites carniolensis* Deflander 1963
- 5: *Lithraphidites quadrates* Bramlett & Martini 1964
- 6: *Microrhabdulus belgicus* Hay & Towe (1963)
- 7: *Microrhabdulus decorates* Deflander 1959
- 8: *Quadrum gartneri* Prins & Perch- Nielsen in Manivit et al. 1977
- 9: *Quadrum gothicum* (Deflander, 1952) Hotton and Wise 1980
- 10: *Quadrum trifidus* (Stradner in Stradner and Papp 1961) Hattner & Wise 1980
- 11: *Quadrum sissinghii* Perch – Nielsen 1986b
- 12: *Micula decussate* Vekshina 1959

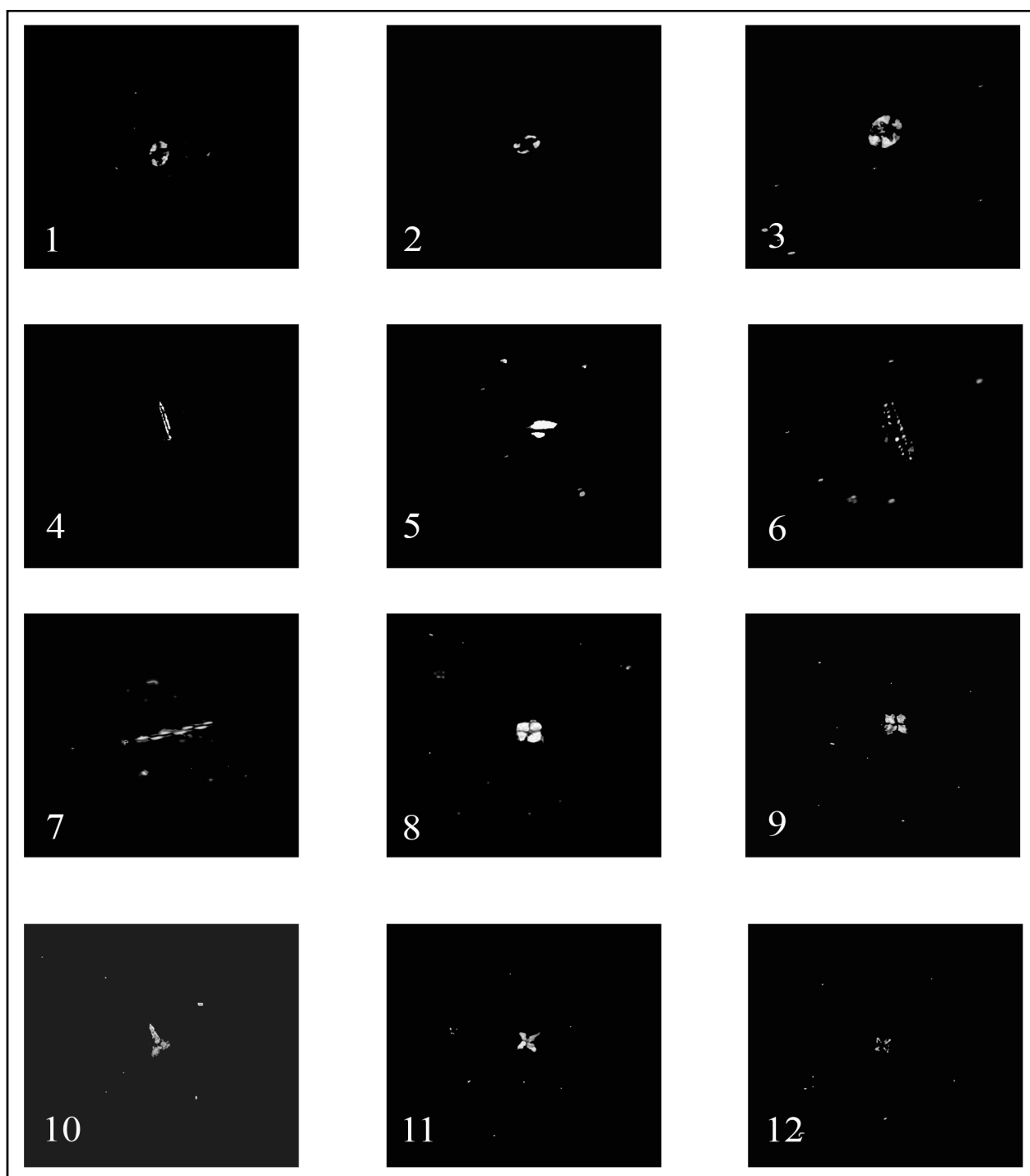


PLATE 3

- 1: *Micula concave* (Stradner in: Martini & Stradner 1960 Verbeek 1995)
- 2: *Micula murus* (Marini 1961, Bukry 1973a)
- 3: *Micula prinsii* Perch – Nielsen 1979a
- 4: *Micula preamurus* (Bukry 1973, Stradner & Steinmeitz 1984)
- 5: *Micula swasteka* Stradner & Stenmentz 1984
- 6: *Lithastrinus grillii* Stradner 1962
- 7: *Rhagodiscus angustus* (Stradner 1963, Reinhardt 1971)
- 8: *Thrcospaera operculata* Bramlett & Martini 1964
- 9: *Watznaueria barnesae* (Black in Black & Barnes 1959, Perch-Nielsen 1968)
- 10: *Watznaueria biporta* (Bukry 1969)
- 11: *Reinhardtites anthophorus* (Deflandre 1959, Perch- Nielsen (1968)
- 12: *Reinhardtites levis* Prins & Sissinghi in Sissingh 1977

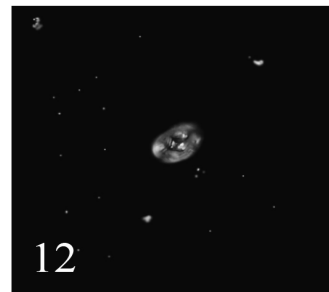
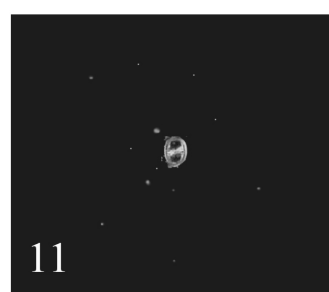
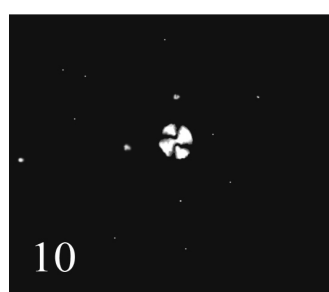
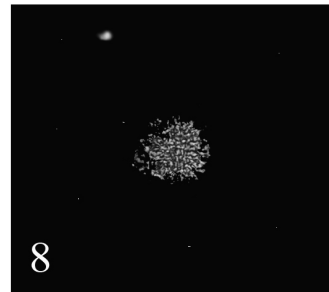
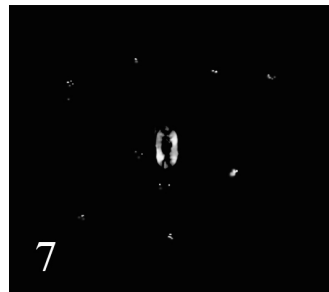
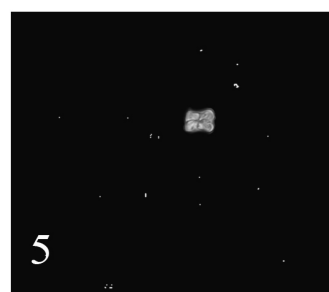
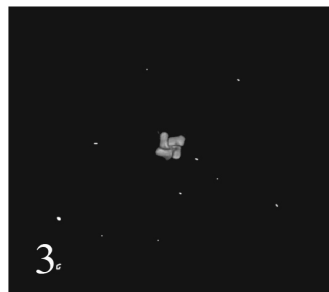
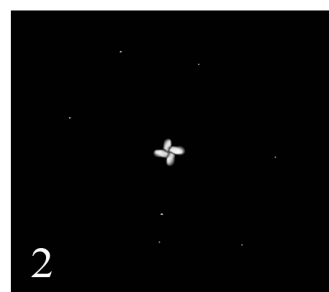
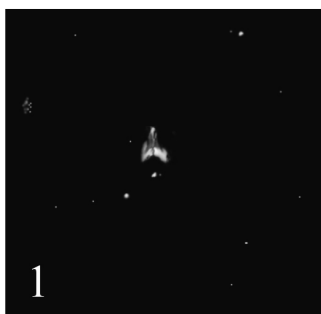
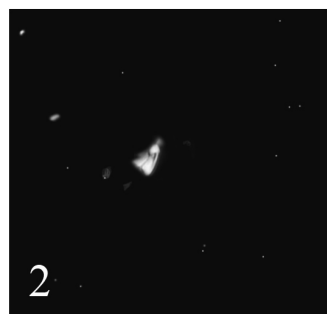


PLATE 4

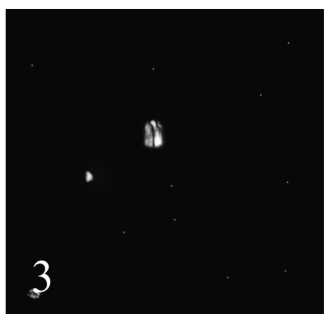
- 1: *Ceratolithoides arcuatus* Prins & Sissingh in Sissingh 1977
- 2: *Ceratolithoides verbeekii* Perch- Nielsen 1979a
- 3: *Ceratolithoides verbeekii* Perch- Nielsen 1979a
- 4: *Ceratolithoides aculeus* (Stradner 1961) Prins ans Sissingh in Sissingh 1977
- 5: *Ceratolithoides ampeletor*
- 6: *Ceratolithoides kamptheri* Bramlette & Martini 1964
- 7: *Ceratolithoides ultimus*
- 8: *calciealathina alta* perch-nielsen (1985)
- 9: *Marthasterites furcatus* (Deflandre in Deflandre & Fert 1954) Deflandre 1959



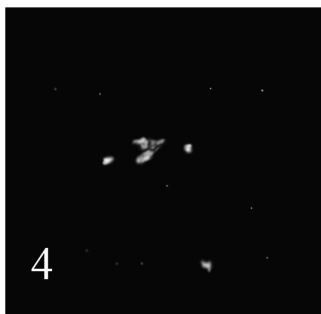
1



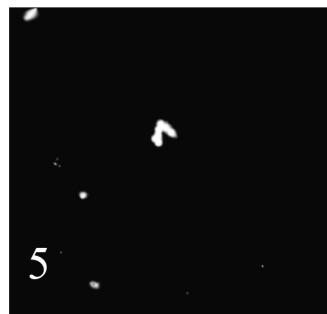
2



3



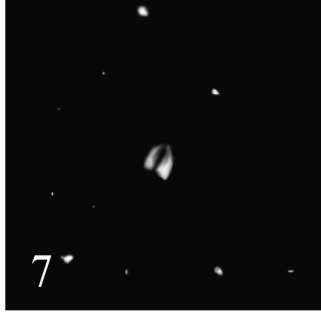
4



5



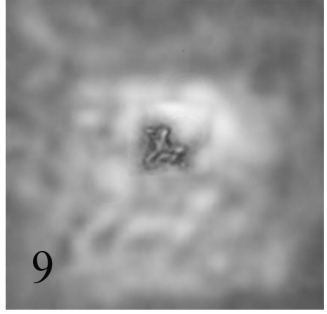
6



7



8



9